

# Разработка катализатора паровой конверсии метана для повышения технико-экономических показателей трубчатой печи

А.В. Дульнев, А.В. Обысов, С.М. Соколов, В.И. Головков

ООО «Новомосковский институт азотной промышленности-Катализатор» (ООО «НИАП-Катализатор»)

**Процесс паровой конверсии метана является основным процессом для получения синтез-газа в крупнотоннажных производствах аммиака, метанола и продуктов органического синтеза. Ядром этого процесса является трубчатая печь с огневым обогревом. Характеристики катализатора оказывают основное влияние на производительность трубчатой печи и срок службы этого оборудования, являющегося одним из наиболее дорогих в современных производствах аммиака и метанола. От производительности трубчатой печи, в конечном счете, зависит и производительность агрегата в целом.**

Некелевый катализатор конверсии метана должен обладать комплексом характеристик, основными из которых являются: высокая активность и стабильность, большая площадь геометрической поверхности, низкое газодинамическое сопротивление, высокая механическая прочность и термостойкость [1-3].

Процесс разработки катализатора конверсии метана можно условно разделить на два направления:

1. Разработка носителя катализатора, обладающего максимальной площадью поверхности слоя при высокой прочности и низком газодинамическом сопротивлении катализатора. Форма и размер носителя и соответственно самого катализатора, значительно влияют также на коэффициент теплопередачи.

2. Усовершенствование активной части катализатора, включая методы нанесения, обеспечивающие получение высококачественного, активного и стабильного катализатора.

тора на разработанном носителе с наименьшими затратами.

Размер и форма гранул катализатора конверсии метана непосредственно влияют на его активность, газодинамическое сопротивление, характеристики теплопередачи, а значит, на производительность пе-

**Процесс паровой конверсии метана является основным процессом для получения синтез-газа в крупнотоннажных производствах аммиака, метанола и продуктов органического синтеза**

чи. Катализатор в форме колец, долгое время являвшийся стандартным для всех производителей катализаторов конверсии метана, начиная с 90-х годов прошлого века, перестал удовлетворять все возрастающим требованиям потребителей. В Новомосковском институте азотной промышленности (НИАП) большое

внимание было уделено разработке катализатора сложной формы, максимально удовлетворяющего вышеуказанным требованиям.

Была разработана технология производства носителей катализаторов на основе  $\alpha$ -Al<sub>2</sub>O<sub>3</sub> методом шликерного литья под давлением. В табл. 1 представлены основные характеристики носителей катализаторов, имеющих форму цилиндра с семью отверстиями. Для сравнения приведены данные по кольцевидному носителю (R), на основе которого выпускается катализатор конверсии природного газа НИАП-18 [4].

Для получения газодинамических характеристик катализаторов был создан опытный газодинамический стенд с испытательными трубами внутренним диаметром от 76 до 95 мм и высотой 1600 мм. В трубы загружались катализаторы, через слой которых пропускали воздух, определяя его расход по перепаду давления на диафрагме. Расход воздуха составлял от 50 до 250 м<sup>3</sup>/ч. Газодинамическое сопротивление измеряли с помощью образцовых манометров.

Известно, что перепад давления в слое частиц определяется зависимостью [5]:

$$\frac{\Delta P}{L} = \frac{\rho w^2}{2} \cdot \frac{a}{\varepsilon^3} f_s \quad (1)$$

где  $\Delta P/L$  – перепад давления на единицу высоты слоя, Па/м;

$w$  – линейная скорость газа, рассчитанная на полное сечение реактора, м/с;

$\rho$  – плотность газа, кг/м<sup>3</sup>;

$a$  – удельная геометрическая поверхность слоя, м<sup>2</sup>/м<sup>3</sup>;

$\varepsilon$  – порозность слоя, м<sup>3</sup>/м<sup>3</sup>;

$f_s$  – коэффициент газодинамического сопротивления.

Величина порозности и поверхности слоя зависят от формы и размеров элементов слоя и характера их упаковки. Таким образом, сопротивление слоя катализатора данной формы и размера определяется произведением  $\rho w^2$ . Испытания

**ТАБЛ. 1. ХАРАКТЕРИСТИКИ НОСИТЕЛЕЙ КАТАЛИЗАТОРОВ КОНВЕРСИИ ПРИРОДНОГО ГАЗА**

Характеристики	Условное обозначение			
	R	C7f	C7c	C7cs
<b>Геометрические размеры, мм</b>				
• Диаметр гранулы(D)	14,5	19,4	18,7	16,3
• Высота гранулы (H)	11,4	14,9	15,7	14,0
• Высота образующей гранулы (h)	—	—	11,5	10,3
• Диаметр отверстия (d)	6,2	3,4	3,9	3,0
Насыпная плотность, кг/дм <sup>3</sup>	0,91	0,96	0,85	0,89
Порозность слоя, м <sup>3</sup> /м <sup>3</sup>	0,507	0,466	0,523	0,515
Поверхность слоя, м <sup>2</sup> /м <sup>3</sup>	325	350	340	425
Механическая прочность, Н/гран	340	510	440	420

проводили в диапазоне значений  $\rho w^2$  и чисел Re, соответствующих реальным условиям работы трубчатой печи.

Полученные результаты приведены на рис. 1. Представление результатов в виде графика зависимости газодинамического сопротивления ( $\Delta P/L$ ) от  $\rho w^2$  удобно еще и потому, что позволяет по известному показателю реального промышленного процесса ( $\rho w^2$ ) установить, какое сопротивление будет иметь слой катализатора в данном процессе при данных условиях.

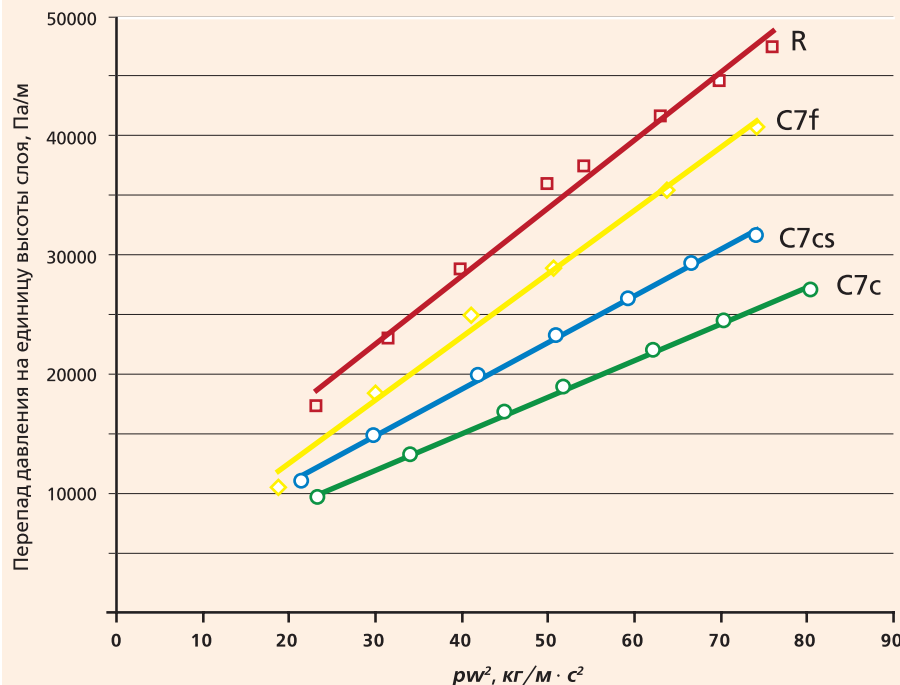
Переход от кольца к носителю в форме цилиндра с семью отверстиями (C7f) позволил снизить газодинамическое сопротивление на 15% и одновременно повысить поверхность слоя на 7%.

Для дальнейшего снижения газодинамического сопротивления было применено скругление торцевых поверхностей и увеличение диаметра отверстий носителя. Форма гранулы с двояковыпуклыми торцами (C7c) обеспечила снижение газодинамического сопротивления более чем на 45% по сравнению с кольцевидным катализатором. Катализатор на носителе C7c обладает наименьшим сопротивлением, однако низкое значение удельной геометрической поверхности позволяет рекомендовать его только для послойной загрузки совместно с катализатором, имеющим высокую поверхность слоя.

Необходимость существенного повышения площади геометрической поверхности слоя приводит к необходимости выбора формы и размеров гранулы, обеспечивающих как низкое газодинамическое сопротивление, так и высокое значение площади поверхности. Примером такой гранулы является оптимизированный носитель C7cs, имеющий поверхность слоя на 30% больше, чем у носителя R и при этом на 30% более низкое сопротивление. Катализатор на носителе такой формы получил наименование НИАП-22 (НИАП-03-01) [6].

Катализатор НИАП-03-01 был впервые загружен в 1998 году в трубчатую печь агрегата аммиака Chemico ОАО «ТОЛЬЯТТИАЗОТ» в количестве 33 т. На протяжении всего периода эксплуатации (1998–2005 гг.) катализатор демонстрировал очень низкое сопротивление слоя (1–2 атм). Благодаря высоким эксплуатационным характеристи-

**Рис. 1. ЗАВИСИМОСТЬ ГАЗОДИНАМИЧЕСКОГО СОПРОТИВЛЕНИЯ ОТ ПРОИЗВЕДЕНИЯ ПЛОТНОСТИ ГАЗА НА КВАДРАТ ЕГО ЛИНЕЙНОЙ СКОРОСТИ ДЛЯ РАЗЛИЧНЫХ КАТАЛИЗАТОРОВ**



**ТАБЛ. 2. ПРЕДПРИЯТИЯ, НА КОТОРЫХ БЫЛ ЗАГРУЖЕН КАТАЛИЗАТОР НИАП-03-01**

Предприятие	Год начала и окончания эксплуатации	Тип агрегата, мощность
ОАО «ТОЛЬЯТТИАЗОТ», г. Тольятти	1998–2005 гг.	Аммиак, Chemico, 1360 т/сут
	2003 г.	Аммиак, AM-76, 1360 т/сут.
	2003 г.	Аммиак, AM-76, 1360 т/сут.
	2004 г.	Аммиак, AM-76, 1360 т/сут.
	2005 г.	Аммиак, Chemico, 1360 т/сут.
	2006 г.	Аммиак, Chemico, 1360 т/сут.
ОАО НАК АЗОТ МХК «Еврохим», г. Новомосковск	2003 г.	Метанол, М-300, 300 тыс. т/год
	2004 г.	Аммиак, AM-70, 1700 т/сут.*
	2004 г.	Аммиак, TEC, 1700 т/сут.*
	2004 г.	Аммиак, TEC, 1360 т/сут.
ОАО «Салаватнефтеоргсинтез», г. Салават	2003 г.	Аммиак, AM-76, 1700 т/сут.
	2005 г.	Бутиловые спирты**, П-101/1
	2006 г.	Бутиловые спирты**, П-101/2
	2006 г.	Аммиак, AM-76, 1700 т/сут.
ОАО «Метафракс», г. Губаха	2002 г.	Метанол, 650 тыс. т/год
ОАО «АЗОТ», г. Березники	2005 г.	Аммиак, AM-70, 1360 т/сут.
ООО «ЮРХАРОВНЕФТЕГАЗ», г. Надым	2006 г.	Метанол, 12 тыс. т/год
ОАО «Новочеркасский завод синтетических продуктов», г. Новочеркасск	2006 г.	Метанол, 100 тыс. т/год
ОАО «АЗОТ», г. Березники	2005 г.	Аммиак, AM-70, 1360 т/сут
АО «АЗОТ», г. Рустави, Грузия	2005 г.	Аммиак, AM-600, 600 т/сут.
АО «АЗОТ», г. Черкассы, Украина	2005 г.	Аммиак, AM-600, 600 т/сут.
АО «Гродно Азот», Беларусь	2007 г.	Производство метанола и синтез-газа

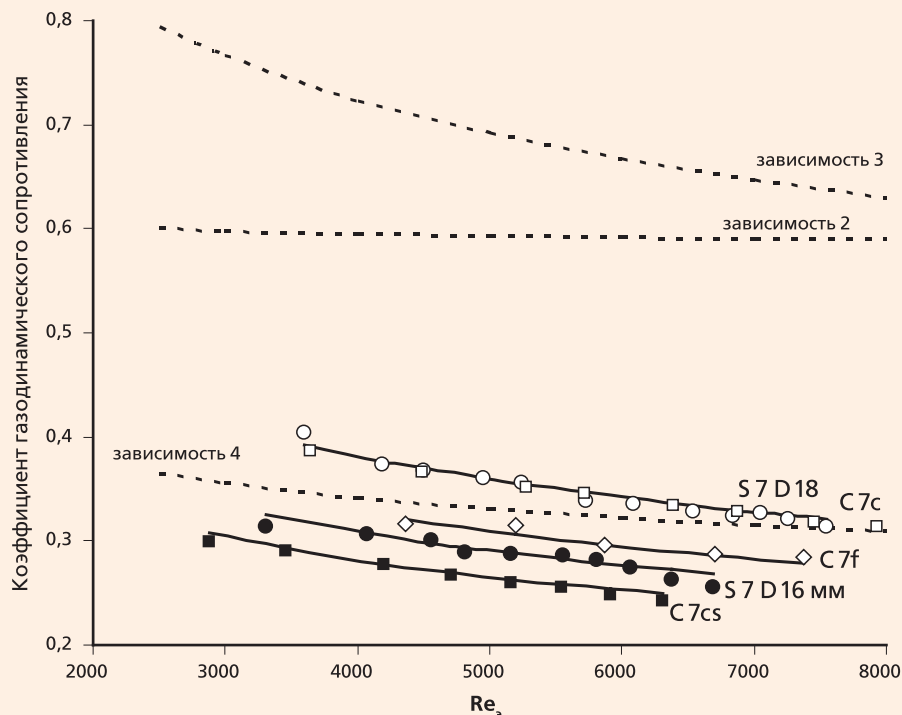
\* — фактическая производительность; \*\* — катализатор с дополнительным промотированием

кам данный катализатор получил широкое распространение на предприятиях России и ближнего зарубежья (табл. 2).

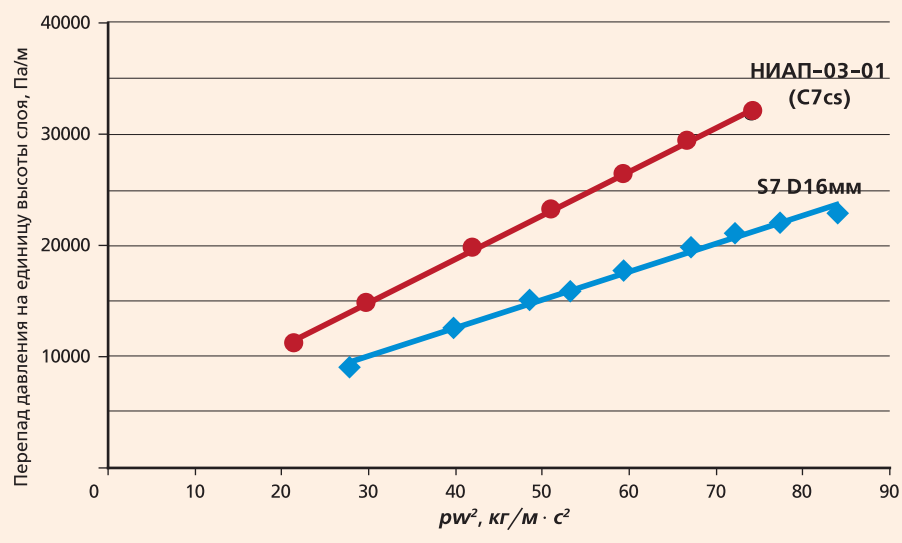
Особую актуальность проблема снижения газодинамического сопротивления приобрела в свете повсеместного форсирования аг-

регатов производства аммиака с мощности 1360 т/сут. до 1700 и более т/сут. Отмеченное выше положительное изменение характеристик катализатора при переходе от формы гранулы с плоскими торцевыми поверхностями к форме с выпуклыми торцами предопреде-

**Рис. 2.** ЗАВИСИМОСТЬ КОЭФФИЦИЕНТА ГАЗОДИНАМИЧЕСКОГО СОПРОТИВЛЕНИЯ ОТ ЧИСЛА РЕЙНОЛЬДСА



**Рис. 3.** СРАВНЕНИЕ ГАЗОДИНАМИЧЕСКОГО СОПРОТИВЛЕНИЯ ПЕРФОРИРОВАННОГО ШАРОВОГО КАТАЛИЗАТОРА (S7 D16 ММ) И КАТАЛИЗАТОРА НИАП-03-01



лило дальнейшее усовершенствование формы катализатора, которое заключается в увеличении кривизны торцов до получения сферической гранулы.

Первые экспериментальные данные, полученные для гранул сферического носителя с диаметром 18 мм, подтвердили теоретическое предположение и показали, что катализатор такой формы обладает уникально-низким газодинамическим сопротивлением.

Для определения коэффициента газодинамического сопротивления

$f_d$  в формуле (1) существует целый ряд эмпирических формул [5]. Наиболее часто для расчета газодинамического сопротивления в слоях

**ПЕРВЫЕ ЭКСПЕРИМЕНТАЛЬНЫЕ ДАННЫЕ, ПОЛУЧЕННЫЕ ДЛЯ ГРАНУЛ СФЕРИЧЕСКОГО НОСИТЕЛЯ С ДИАМЕТРОМ 18 ММ, ПОДТВЕРДИЛИ ТЕОРЕТИЧЕСКОЕ ПРЕДПОЛОЖЕНИЕ И ПОКАЗАЛИ, ЧТО КАТАЛИЗАТОР ТАКОЙ ФОРМЫ ОБЛАДАЕТ УНИКАЛЬНО НИЗКИМ ГАЗОДИНАМИЧЕСКИМ СОПРОТИВЛЕНИЕМ**

цилиндрических и кольцевидных гранул используются зависимости:

$$f_d = \frac{8 \cdot 4,8}{Re_d} + 0,585; \quad (2)$$

$$f_d = \frac{3,8}{Re_d^{0,2}}, \quad (3)$$

где  $Re_d$  — эквивалентный критерий Рейнольдса.

Для расчета слоев, состоящих из шаров с гладкой поверхностью в области больших значений  $Re_d$  ( $Re_d = 2000-10000$ ) предложена зависимость [5]

$$f_d = \frac{1,09}{Re_d^{0,14}}. \quad (4)$$

Расчет коэффициентов сопротивления  $f_d$  по уравнениям (2) и (3) дает завышенные значения по сравнению с экспериментальными в 1,5-2,5 раза (рис. 2). Результаты, полученные по зависимости (4), лежат в области экспериментальных значений, однако также не могут обеспечить достаточной точности расчета.

Анализ экспериментальных данных позволил предложить формулу для расчета коэффициента газодинамического сопротивления для исследованных катализаторов сложной формы (цилиндров с семью отверстиями, цилиндров с семью отверстиями и двояковыпуклыми торцами, а также перфорированных шаров различных размеров)

$$f_d = \frac{52}{Re_d^{0,27}} \cdot \frac{d}{D}, \quad (5)$$

где  $D$  — диаметр реактора;

$d$  — эквивалентный диаметр порового канала в слое катализатора, который определяется по формуле [5]

$$d = \frac{4 \cdot \varepsilon}{a}. \quad (6)$$

Отклонение расчетных величин от экспериментальных в диапазоне  $Re_d = 2000-8000$ , отношении  $D/d$  — 14-20 не превышает 5%.

Теоретические расчеты и экспериментальные исследования позволили определить оптимальный типоразмер носителя и катализатора в форме перфорированного шара, характеристики которого в сравнении с катализатором НИАП-03-01 представлены в табл. 3. Катализатор в форме перфорированного шара превосходит катализатор НИАП-03-01 по площади поверхности и порозности слоя, не уступает ему по показателям механической прочности. При этом газодинамическое сопротив-

ление шарового катализатора на 30% ниже, чем у катализатора НИАП-03-01 (рис. 3).

Повышенная площадь поверхности слоя позволяет увеличить удельную активность катализатора, а значит и производительность трубчатой печи при том же объеме загрузки. За счет низкого насыпного веса катализатора сокращается масса его загрузки (по сравнению с НИАП-03-01 на 10%), а следовательно и снижается стоимость. На практике снижение гидравлического сопротивления дает возможность либо снизить перепад давления по печи риформинга, либо повысить нагрузку агрегата без увеличения перепада давления.

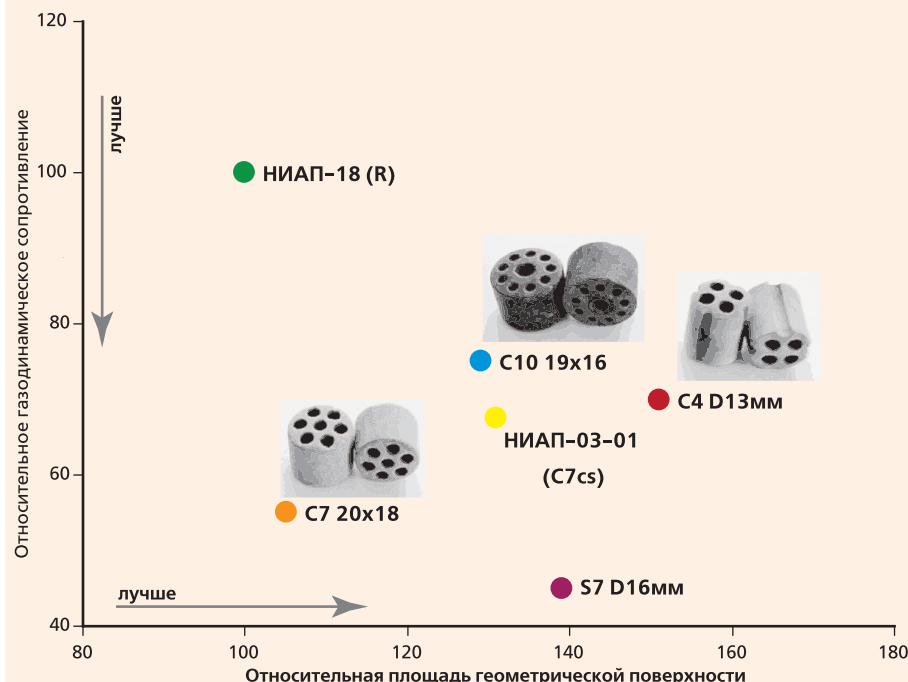
На рис. 4 приведено сравнение разработанного шарового катализатора (S7 16 мм) с катализаторами НИАП (НИАП-18, НИАП-03-01) и современными катализаторами конкурентами иностранных фирм в форме цилиндров с семью отверстиями (C7 20x18), с десятью отверстиями (C10 19x16), с четырьмя отверстиями и четырьмя желобками (C4 D13mm).

Представленные данные позволяют считать шаровой катализатор лучшим по соотношению сопротивление — геометрическая поверхность и абсолютным лидером по показателю газодинамического сопротивления.

Шаровой катализатор оптимальной формы обеспечивает равномерную загрузку в трубах риформинга (рис. 5). Это позволит исключить местные перегревы и значительно улучшить условия теплопередачи, что в свою очередь даст возможность уменьшить расход топливного газа и снизить температуру стенок труб и увеличить их рабочий ресурс.

Известно, что даже небольшое изменение температуры стенки труб существенно влияет на срок их службы. По прогнозу температура стенки трубы в печи паровой конверсии при эксплуатации шарового катализатора снизится примерно на 10°C, что даст воз-

**Рис. 4. СРАВНИТЕЛЬНЫЕ ПОКАЗАТЕЛИ ГАЗОДИНАМИЧЕСКОГО СОПРОТИВЛЕНИЯ И ПЛОЩАДИ ГЕОМЕТРИЧЕСКОЙ ПОВЕРХНОСТИ ДЛЯ РАЗЛИЧНЫХ КАТАЛИЗАТОРОВ**



можность продлить срок эксплуатации труб на несколько лет. Часто температура стенки трубы является фактором, ограничивающим нагрузку трубчатой печи, и снижение этой температуры в сочетании с пониженным газодинамическим

**ТАБЛ. 3. ХАРАКТЕРИСТИКИ КАТАЛИЗАТОРОВ КОНВЕРСИИ ПРИРОДНОГО ГАЗА**

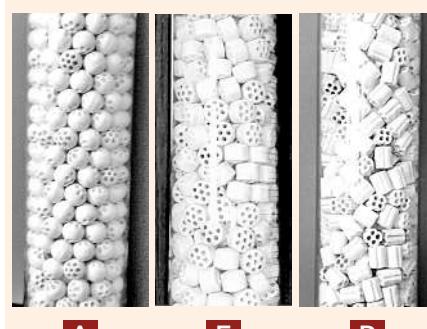
Характеристики	Условное обозначение	
	НИАП-03-01 (C7cs)	Перфорир. шар (S7 16 мм)
Диаметр гранулы, мм	16,3	15,9
Насыпная плотность, кг/дм <sup>3</sup>	1,0	0,9
Порозность слоя, м <sup>3</sup> /м <sup>3</sup>	0,515	0,612
Поверхность слоя, м <sup>2</sup> /м <sup>3</sup>	425	450
Мех. прочность, Н/гран	более 400	более 400

сопротивлением может позволить повысить нагрузку, а значит, и производительность печи.

Таким образом, оптимизация формы и размера катализатора конверсии метана позволила значительно улучшить его эксплуатационные характеристики.

Применение катализатора в форме перфорированного шара даст возможность существенно повысить технико-экономические показатели трубчатой печи паровой конверсии метана.

**Рис. 5. ПРИМЕР УКЛАДКИ КАТАЛИЗАТОРОВ В ТРУБАХ**



**A – шаровой катализатор (S7 D 16 mm);  
Б – НИАП-03-01 (C7cs);  
В – C4 D 13 mm**

## СПИСОК ЛИТЕРАТУРЫ

- Справочник азотчика / Под общей редакцией Е.Я. Мельникова. – М.: Химия, 1986. Т. 1. – 512 с.
- Производство технологического газа для синтеза аммиака и метанола из углеводородных газов / Под ред. А.Г. Лейбуш. – М.: Химия, 1971. – 288 с.
- Егебаев С.Х. Создание современных технологий и катализаторов риформинга углеводородов в производстве водорода и водородсодержащих газов в промышленности России // Катализ в промышленности. – 2001, № 2. – С. 24-32.
- ТУ 113-03-2010-93 Катализатор конверсии природного газа (НИАП-18).
- Аэров М.Э., Тодес О.М., Наринский Д.А. Аппараты со стационарным зернистым слоем // Химия, 1979. – 176 с.
- ТУ 2171-006-00209510-2007 Катализатор никелевый НИАП-03-01.